

Лекция № 7

Итак, обобщенные собственные векторы оператора координаты \hat{q} это антилинейные квазиволновые функционалы из пространства \mathcal{Y}^* , которые $\forall |q\rangle \in \mathcal{Y}$ ставят в соответствие значение функции f в точке x :

$$\hat{q}|x\rangle = x|x\rangle \Rightarrow \langle q|x\rangle = \bar{\varphi}(x)$$

Функционал $|x\rangle$ называется δ -функцией, сопровождаемой $\forall x \in \mathbb{R}$. Удобно считать функционал $|x\rangle$ формальным и про $\delta(x-y)$ и записывать его действие на функции $|q\rangle$ из \mathcal{Y} в виде интеграла

$$\langle q|x\rangle = \int_{-\infty}^{\infty} \bar{\varphi}(y) \delta(x-y) dy = \bar{\varphi}(x).$$

"Разложение единицы" по набору обобщенных собственных векторов \hat{q} имеет вид:

$$|1\rangle = \int_{-\infty}^{\infty} |x\rangle \langle x| dx, \quad \forall |q\rangle \in \mathcal{Y}.$$

Другие формы:

$$\hat{1} = \int_{-\infty}^{+\infty} |x\rangle \langle x| dx$$

$$\hat{q} = \int_{-\infty}^{+\infty} x |x\rangle \langle x| dx.$$

Обратимся теперь к оператору $\hat{p} =$ импульса \hat{p} . Его действие на $|\psi\rangle \in \mathcal{Y}$ выражается в виде временного производного:

$$\hat{p}|\psi\rangle \rightarrow \frac{\hbar}{i} \frac{d\psi(x)}{dx}.$$

Найдём обобщённый Волнистый оператор $|p\rangle \in \mathcal{Y}^*$. Используя этот функционал, зададим некоторое еёное $\Pi_p(x)$:

$$\forall |\psi\rangle \in \mathcal{Y}: \langle \psi | p \rangle = \int_{-\infty}^{+\infty} \bar{\psi}(x) \Pi_p(x) dx$$

До определению действия \hat{p} на $|p\rangle$:

$$\begin{aligned} \langle \psi | \hat{p} | p \rangle &= \langle \hat{p} \psi | p \rangle = \\ &= \int_{-\infty}^{+\infty} \left(\frac{\hbar}{i} \frac{d\psi}{dx} \right) \Pi_p(x) dx \quad (*) \end{aligned}$$

С другой стороны: $\hat{p}|p\rangle = p|p\rangle \Rightarrow$

$$\Rightarrow \langle \psi | \hat{p} | p \rangle = p \langle \psi | p \rangle = \int_{-\infty}^{+\infty} \bar{\psi}(x) p \Pi_p(x) dx$$

Интегрируя (*) по частям и считая что $\Pi_p(x)$ функция мертвого роста (т.е. $\bar{\psi}(x) \Pi_p(x) \xrightarrow{|x| \rightarrow \infty} 0$ $\forall \psi(x) \in \mathcal{Y}$), получаем равенство:

$$\int_{-\infty}^{+\infty} \bar{\varphi}(x) \frac{t}{i} \frac{d}{dx} P_p(x) dx = \int_{-\infty}^{+\infty} \bar{\varphi}(x) p P_p(x) dx = 3 =$$

$$\forall \varphi(x) \in \mathcal{D} \Rightarrow \frac{t}{i} \frac{d}{dx} P_p(x) = p P_p(x) \Rightarrow$$

$$\Rightarrow \boxed{P_p(x) = A e^{\frac{i p x}{t}}, \quad A = \text{const}}$$

Причём образом, функциональным $|p\rangle$

считается $\forall |\psi\rangle \in \mathcal{D}$ имея, пропорциональное значение Фурье-образа функции $\varphi(x)$ в той же форме, комплексно-сопряжённое значение того фурье-образа:

Взберем корриговку $A = \frac{1}{\sqrt{2\pi t}}$:

$$\langle \varphi | p \rangle = \int_{-\infty}^{+\infty} \bar{\varphi}(x) e^{\frac{i p x}{t}} \frac{dx}{\sqrt{2\pi t}} = \tilde{\varphi}(p).$$

Корриговка $A = \frac{1}{\sqrt{2\pi t}}$ обес печивает

сохранение нормы:

$$\int_{-\infty}^{+\infty} |\tilde{\varphi}(p)|^2 dp = \int_{-\infty}^{+\infty} |\varphi(x)|^2 dx$$

Мы находимся тем, что на пространстве Шварца преобразование Фурье — единство однозначное и корректное преобразование!

$$\tilde{\varphi}(p) = \int_{-\infty}^{+\infty} e^{-\frac{ipx}{\hbar}} \varphi(x) \frac{dx}{\sqrt{2\pi\hbar}} \Leftrightarrow$$

$$\varphi(x) = \int_{-\infty}^{+\infty} e^{\frac{ipx}{\hbar}} \tilde{\varphi}(p) \frac{dp}{\sqrt{2\pi\hbar}}$$

При этом, в силу равнодействия по p охоронного интеграла легко показать, что $\tilde{\varphi}(p) \in \mathcal{S}$ и

$$(i\hbar \frac{d}{dp})^n \tilde{\varphi}(p) \Leftrightarrow x^n \varphi(x)$$

$$p^n \tilde{\varphi}(p) \Leftrightarrow \left(\frac{\hbar}{i} \frac{d}{dx}\right)^n \varphi(x)$$

Разложение единицы по обобщенным ~~бесконечным~~ собственным векторам β :

$$|4\rangle = \int |p\rangle \langle p|4\rangle dp$$

позволяет привести к более "какашеющей" формуле $\langle x|4\rangle$:

$$\langle x|4\rangle = \int_{-\infty}^{\infty} \langle x|p\rangle \langle p|4\rangle dp$$

$\varphi(x) = \int_{-\infty}^{\infty} \langle x|p\rangle \tilde{\varphi}(p) dp \Rightarrow$ из формулы данное обратное преобразование имеет:

$$\boxed{\langle x|p\rangle = \frac{1}{\sqrt{2\pi\hbar}} e^{ipx} = \int \Pi_p(x)}$$

также это, forceded
единственное $\langle \hat{p}' \rangle$ фурье-образа
 $\langle p' \rangle$, называемое $\langle \hat{p}' \rangle$:

$$\langle \hat{p}' | \psi \rangle = \tilde{\phi}(p') = \int_{-\infty}^{+\infty} \langle p' | p \rangle \tilde{\phi}(p) dp$$

$$\boxed{\langle \hat{p}' | p \rangle = \delta(p - p')}$$

Что:

$$\langle x | x' \rangle = \delta(x - x')$$

$$\langle x | p \rangle = \frac{1}{\sqrt{2\pi\hbar}} \exp\left(\frac{i\hbar x}{\hbar}\right) = \langle p | x \rangle$$

$$\langle p | p' \rangle = \delta(p - p').$$

Это соответствует выражению
матричного произведения
сканерных проекций, операторов и т.д.

Проверим, например, сходимость
орбитного фактора $\hat{P}^2 = \hat{P}$ в разложении
по базисам $|x\rangle$:

$$\hat{P} = \int |x\rangle \langle x| dx$$

$$\hat{P} \cdot \hat{P} = \left(\int |x\rangle \langle x| dx \right) \left(\int |y\rangle \langle y| dy \right) =$$

$$= \int_{-\infty}^{+\infty} \int_{-\infty}^{+\infty} |x\rangle \langle x| \underbrace{\langle y |}_{\delta(x-y)} \langle y | dx dy = \int_{-\infty}^{+\infty} |x\rangle \langle x| dx = \hat{P}.$$

Разложение $|\psi\rangle \in \mathcal{H}$ по обобщенным собственным векторам оператора \hat{p} приводит к такому составно-геское ~~или~~ интерпретации фурье-образа $\hat{\varphi}$:

$$|\psi\rangle = \int_{-\infty}^{\infty} |p\rangle \hat{\varphi}(p) dp \Rightarrow$$

$\hat{\varphi}(p)$ - плотность амплитуды береж-
коции распределения импульса в состоя-
нии $\psi(x)$, т.е. $|\hat{\varphi}(p)|^2 dp$ - бережность
каждого импульса в малом интервале dp
округл знатания p в системе, заданной
функцией $\psi(x)$. С единичной
бережностью: $\int_{-\infty}^{+\infty} |\psi(x)|^2 dx = 1$.

Напомним, что $|\psi(x)|^2 dx$ - бережность измеренного значения координаты в малом
интервале dx вокруг x .

Зад. Приведенные выше свойства
символов $|x\rangle$ и $|p\rangle$ позволяют
легко получать различное представление-
ние для векторов, операторов, скалярных
произведений и т.д. путем формальных
маневров с интеграцией и
обобщением фурье-образа. Справе-

Обоснование этих начальных предположений можно начать на основании свойств преобразования Ивартса и преобразований Фурье. Например, "смешанное представление единицы":

$$\hat{I} = \hat{x} \cdot \hat{p} = \left(\int_{-\infty}^{+\infty} |x\rangle \langle x| dx \right) \left(\int_{-\infty}^{+\infty} |p\rangle \langle p| dp \right) =$$

разн. по x разн. по p

$$= \int_{-\infty}^{+\infty} \int_{-\infty}^{+\infty} |x\rangle \langle x| |p\rangle \langle p| dx dp = \int_{-\infty}^{+\infty} |x\rangle \frac{e^{ipx}}{\sqrt{2\pi\hbar}} \langle p| dx dp$$

$$\Rightarrow \langle \psi | \psi \rangle = \int_{-\infty}^{+\infty} \int_{-\infty}^{+\infty} \langle \psi | x \rangle \frac{e^{ipx}}{\sqrt{2\pi\hbar}} \langle p | \psi \rangle dx dp =$$

$$= \int_{-\infty}^{+\infty} \bar{\psi}(x) \tilde{\psi}(p) \frac{e^{ipx}}{\sqrt{2\pi\hbar}} dx dp \quad \text{и т.д.}$$

Рассмотрим теперь некоторые методы и свойства одномерной квантовой механики.

① Свободная частица в одномерном измерении.

Классическое описание $H = \frac{p^2}{2m}$ косое квантование защищается на классическом линейном операторе $H = \frac{p^2}{2m}$. Как уже умеем знать, нормированных собственных векторов у этого H нет.

Рассмотрим координатное
представление $\hat{p} = \frac{\hbar}{i} \frac{\partial}{\partial x}$ и
запишем уравнение Шредингера:

$$i\hbar \frac{\partial \psi}{\partial t} = \hat{H}\psi = -\frac{\hbar^2}{2m} \psi''(t, x),$$

$$\text{т.е. } \psi'' = \frac{\partial^2 \psi}{\partial x^2} = -\frac{i\hbar t}{2m} \psi,$$

Сделаем подстановку $\psi(t, x) = e^{-\frac{iEt}{\hbar}} \varphi(x)$
и сведём задачу к стационарному
уравнению Шредингера: $\boxed{E\varphi = \hat{H}\varphi} \Rightarrow$

$$\Rightarrow E \varphi(x) = -\frac{\hbar^2}{2m} \varphi''(x)$$

$$\varphi''(x) + \frac{2mE}{\hbar^2} \varphi(x) = 0$$

Выше, что при $E < 0$ не существует
решений в виде физически ненормированного ряда
(которое задавалось бы функцией $u_3(x)$),
 $\pm \sqrt{\frac{2m|E|}{\hbar^2}} x$

т.к. при $E < 0$ $\varphi(x) \approx e^{-\frac{iEt}{\hbar}}$ —
— бесконечно и неограниченное значение
при $x \rightarrow +\infty$, и это при $x \rightarrow -\infty$.

При $E \geq 0$ следующие обстоятельства:

$$\frac{2mE}{\hbar^2} = \frac{k^2}{2} > 0 \Rightarrow \text{есть 2 решения}$$

$$\underline{\psi}(x) = A_{\pm} e^{\pm \frac{i k x}{\hbar}}, \quad A_{\pm} \text{ — константы.}$$

= 9 =

Уравнение Шредингера
имеет 2 чисто-негауссовых решения
& 2 пары бегущих негауссовых волн:

$$\Psi_+(t, x) = A_+ \exp\left(-\frac{i}{\hbar}(Et - px)\right)$$

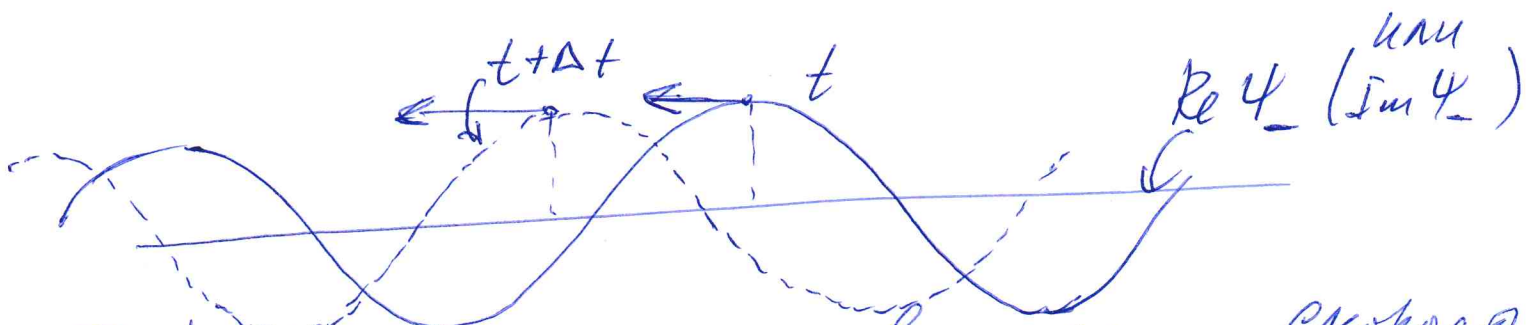
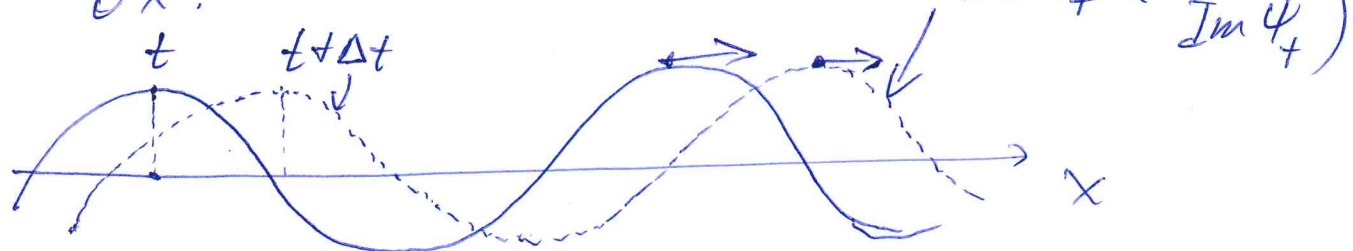
$$\Psi_-(t, x) = A_- \exp\left(-\frac{i}{\hbar}(Et + px)\right),$$

где $E = \frac{p^2}{2m}$ — гиперболическое соотношение.

Заметим, что $\Psi_{\pm}(t, x)$ — собственные
функции и гамильтониана \hat{P} :

$$\hat{P} \Psi_{\pm}(t, x) = \pm p \Psi_{\pm}(t, x).$$

Волны Ψ_+ и Ψ_- с течением времени
распространяются в +u и - направлениях
по оси Ox :



[10] Радиальная скорость волны — скорость
движения торка с занесенным фазой

он пределется уравнением:

=10=

$$\text{и } \begin{cases} Et - px = \text{const} \text{ при } \psi_+ \\ Et + px = \text{const} \text{ при } \psi_- \end{cases}$$

$$\Rightarrow v_{ph}^{\pm} = \pm \frac{E}{P} = \frac{P}{\frac{\partial m}{\partial t}} - \underline{\text{не отбрасывать}}$$

физической сущности импульса и скорости
 $v = \frac{P}{m}$ (v_{ph} в 2 раза меньше).

Это есть одно отражение квадратичности обобщенных коэффициентов бекоров.

Воспроизводящее инвариантность уравнение Шредингера и формируется из подобных величин называемых "вакуумный пакет".

Нормированное решение уравнения Шредингера, которое, в свою нормированность, представляет физический реализуемый состояния. Так, например, международное утверждение:



Функция

$$\psi(t, x) = \int_{-\infty}^{+\infty} \tilde{\psi}_0(p) e^{-\frac{i}{\hbar}(Et - px)} \frac{dp}{\sqrt{2\pi\hbar}},$$
$$E_p = \frac{P^2}{2m}$$



= 11 =

зде $\tilde{\psi}_0(p) \in Y$, представляется
собой нормированное решение
уравнения Шредингера для свободной
частицы. Функция $\tilde{\psi}_0(p)$ есть форма-
образ неканонических данных (неканоническое
составление частичек):

$$\psi(0, x) = \int_{-\infty}^{+\infty} \tilde{\psi}_0(p) e^{i \frac{px}{\hbar}} \frac{dp}{\sqrt{2\pi\hbar}} = \psi_0(x) \in Y.$$

Доказательство:

В силу бессрочного устойчивого решения $\tilde{\psi}_0(p)$ и
и равномерной сходимости всех инте-
гриалов, функцию \boxed{A} можно дифферен-
цировать по t и x и вносить ее в пределы —
изменяющее произведение под знак ин-
теграла. Тогда выполнение уравнения
Шредингера на \boxed{A} обесценивается
структурой экспоненциального множи-
теля (дисперсионных, \propto коэффициентов E_p^2).

$$\left(i\hbar \frac{\partial^2}{\partial t^2} + \frac{\hbar^2}{2m} \frac{\partial^2}{\partial x^2} \right) \psi(t, x) \approx \int_{-\infty}^{+\infty} e^{-i \frac{p}{\hbar} (E_p t - px)} \left(E_p - \frac{p^2}{2m} \right) \tilde{\psi}_0(p) \frac{dp}{\sqrt{2\pi\hbar}} \approx 0,$$

Рассмотрим вопрос об эволюции = 12 =
базового набора во времени. Для этого
используем в качестве начального состояния
 $|k_0\rangle$ функцию из пространства Шварца
Установившуюся вида:

$$|k_0\rangle \rightarrow |\psi_0(x)\rangle = \frac{1}{\sqrt{6\sqrt{\pi}}} \exp\left(-\frac{(x-x_0)^2}{2\sigma^2} + i\frac{p_0 x}{\hbar}\right).$$

Получаем формулу для Гаусса ширины:
 $\int_{-\infty}^{+\infty} \exp(-ax^2+bx) dx = \sqrt{\frac{\pi}{a}} e^{\frac{b^2}{4a}}$ $\Re a > 0$

Из коэффициентов субъекта нарастают x_0 , p_0 и σ :

$$\langle q \rangle_{\psi_0} = \langle \psi_0 | \hat{q} | \psi_0 \rangle = \int_{-\infty}^{+\infty} \bar{\psi}_0(x) x \psi_0(x) dx = x_0 - \text{среднее значение координаты в начальном состоянии.}$$

$$\langle p \rangle_{\psi_0} = \int_{-\infty}^{+\infty} \bar{\psi}_0(x) i \frac{d\psi_0(x)}{dx} dx = p_0 - \text{среднее значение импульса в начальном состоянии}$$

$$(\Delta_{\psi_0} q)^2 = \langle q^2 \rangle_{\psi_0} - \langle q \rangle_{\psi_0}^2 = \frac{\sigma^2}{2} - \text{дисперсия координаты в начальном состоянии.}$$

$$(\Delta_{\psi_0} p)^2 = \langle p^2 \rangle_{\psi_0} - \langle p \rangle_{\psi_0}^2 = \frac{\hbar^2}{2\sigma^2}$$

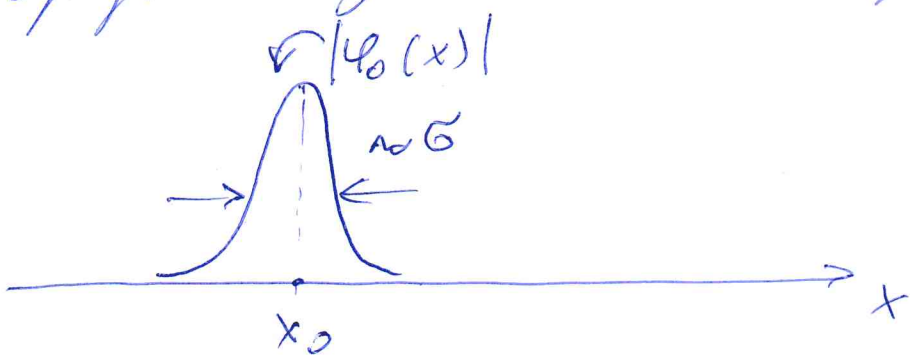
Что, $\varphi_0(x)$ это пример

13 =

короткое состоение:

$$\Delta_{\varphi_0}(q) \Delta_{\varphi_0}(p) = \frac{\hbar}{2}, \text{ где}$$

а $\sigma \sim \text{"точность"}$ локализации частицы
вокруг среднего значения x_0 , p_0 -
среднее значение импульса.



Как меняться со временем x_0, p_0 и σ ?

Это можно получить пределью вычислений из ~~Из~~ бегущей Гауссовы интегралы, но вычисление достаточно громоздки. Однако, если мы не интересуемся точной формой $\Psi(t, x)$, а хотим найти зависимость от времени $\langle \hat{q} \rangle(t)$, $\langle \hat{p} \rangle(t)$ и $\Delta q(t)$, то ответ можно получить прямым.

Воспользуемся Эйнштейном в картике Лизенберга. В этой картине Состояние состоит от времени не

и остаточное выражение $\varphi_0(x)$,
 а операторы \hat{q} и \hat{p} заменяются
 в соответствии с уравнением Лан-
 берга: $i\hbar \frac{d\hat{q}(t)}{dt} = [\hat{q}, \hat{H}]$

$$i\hbar \frac{d\hat{p}(t)}{dt} = [\hat{p}, \hat{H}]$$

Получаем $\hat{H} = \frac{\hat{p}^2}{2m}$ и уравнение $[\hat{q}, \hat{p}] = i\hbar$,

находим:

$$\begin{cases} \frac{d\hat{q}}{dt} = \frac{\hat{p}}{m} \\ \frac{d\hat{p}}{dt} = 0 \end{cases}$$

Воспользуемся средними для всех операторных
 выражений по нормализованной состоянию φ_0 :

$$\left\langle \frac{d\hat{q}}{dt} \right\rangle_{\varphi_0} = \int_{-\infty}^{\infty} \varphi_0(x) \frac{d\hat{q}}{dt} \varphi_0(x) dx = \frac{d}{dt} \left\langle \hat{q}(t) \right\rangle_{\varphi_0}$$

$$\left\langle \frac{\hat{p}}{m} \right\rangle_{\varphi_0} = \frac{p_0}{m}; \quad \frac{d}{dt} \left\langle \hat{p}(t) \right\rangle_{\varphi_0} = 0$$

Установим, что $\left\langle \hat{q}(0) \right\rangle_{\varphi_0} = x_0$, находим:

$$\left\langle \hat{q} \right\rangle_{\varphi_0}(t) = \frac{p_0}{m} t + x_0$$

$$\left\langle \hat{p} \right\rangle_{\varphi_0}(t) = p_0$$

Что, среднее значение $= 15 =$
 координаты равнодействующей изменяется
 со скоростью $\frac{P_0}{m} = v_0$. Это значение
 называемое групповой скоростью ка-
 кета и совпадает с классическим
 значением скорости частичной массы
 и импульса P_0 . Напомним, что
групповая скорость имеет вид, из
 которых можно看出, что имеет
 квадратическую связь с импульсом P_0
 в 2 раза меньшее: $v_{ph} = \sqrt{\frac{P_0}{m}}$.

Для определения зависимости "импульса"
 массы (координаты координат \vec{q}^2)
 поступают следующим образом.

Найдём вторую производную по времени
 от $\vec{q}(t)$.

Поскольку она имеет вид квазивектора наблюда-
емых (не зависящий явно от времени):

$$i\hbar \frac{d\vec{f}}{dt} = [\vec{f}, \vec{h}],$$

$$\text{ибо} \quad i\hbar \frac{d\vec{q}^2}{dt} = [\vec{q}^2, \vec{h}] = \frac{i\hbar}{m} (\vec{p}\vec{q} + \vec{q}\vec{p}),$$

$$\text{T.е.} \quad \frac{d\vec{q}^2}{dt} = \frac{1}{m} (\vec{p}\vec{q} + \vec{q}\vec{p}).$$

Но-грунтову энтропия не регулирует $\approx 16 =$
используя е естественное правило
единичного и уравнения движения где
 $\hat{q} \text{ и } \hat{p}$: $\frac{d}{dt} \hat{q}^2 = \frac{d\hat{q}}{dt} \hat{q} + \hat{q} \frac{d\hat{q}}{dt} = \frac{\hat{p}}{m} \hat{q} + \hat{q} \frac{\hat{p}}{m}$.
ночесок компоненты не могут не быть!

Далее второе производное получаем:

$$\frac{d^2 \hat{q}^2}{dt^2} = 2 \frac{\hat{p}^2}{m}$$

Усреднение по направленному состоянию ($\langle \cdot \rangle_{\hat{q}_0}$):

$$\langle \hat{q}_0 | \frac{d^2 \hat{q}(t)}{dt^2} | \hat{q}_0 \rangle = \frac{d^2}{dt^2} \langle \hat{q}(t) \rangle_{\hat{q}_0} = \frac{2}{m} \langle \hat{p}^2 \rangle_{\hat{q}_0}$$

В силу того, что \hat{p} -интеграл движения, то все статистическое характеристики \hat{p}^2 не зависят от времени \Rightarrow

$$\Rightarrow \langle \hat{p}^2 \rangle_{\hat{q}_0} = \Delta_{\hat{q}_0}^2(p) + \langle \hat{p} \rangle_{\hat{q}_0}^2 = \frac{\hbar^2}{2m^2} + p_0^2$$

Таким образом:

$$\frac{d^2}{dt^2} \langle \hat{q}^2(t) \rangle_{\hat{q}_0} = \frac{\hbar^2}{m^2} + p_0^2 \frac{2}{m}$$

~~$$\frac{d^2}{dt^2} \Delta_{\hat{q}_0}^2 q(t) = \frac{d^2}{dt^2} \langle \hat{q}^2(t) \rangle_{\hat{q}_0}$$~~

$$= \frac{d^2}{dt^2} \left(\langle \hat{q}^2(t) \rangle_{\hat{q}_0} - \langle \hat{q} \rangle_{\hat{q}_0}^2 \right)$$

$$\frac{d^2}{dt^2} \Delta_{q_0}^2 q(t) = \frac{\dot{x}^2}{m\omega^2} + \frac{2p_0^2}{m} -$$

$$- \frac{d^2}{dt^2} \left(\frac{p_0}{m} t + x_0 \right)^2 = \frac{\dot{x}^2}{m\omega^2} \Rightarrow$$

$$\Rightarrow \boxed{\Delta_{q_0}^2 q(t) = \frac{\dot{x}^2}{2m\omega^2} t^2 + \frac{G^2}{2}}$$

Здесь \dot{x} — начальная скорость, G — константа

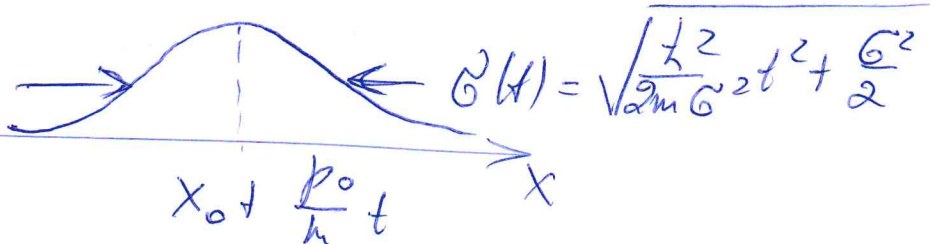
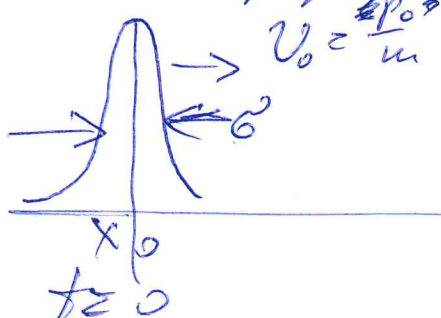
$$\frac{d}{dt} \Delta_{q_0}^2 q(t) \Big|_{t=0} = 0, \text{ т.к.}$$

$$\langle q_0 | \frac{d \hat{q}^2}{dt} | q_0 \rangle = \frac{1}{m} \langle q_0 | \hat{p} \hat{q} + \hat{q} \hat{p} | q_0 \rangle \Big|_{t=0} = \frac{2x_0 p_0}{m}$$

$$\frac{d}{dt} \langle \hat{q}^2 \rangle_{q_0} = \frac{d}{dt} \left(\frac{p_0 t + x_0}{m} \right)^2 \Big|_{t=0} = \frac{2x_0 p_0}{m} \Rightarrow$$

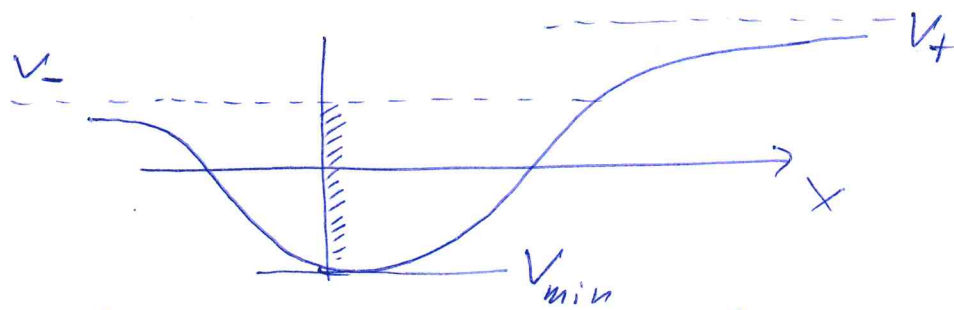
$$\Rightarrow \frac{d}{dt} \left(\langle \hat{q}^2 \rangle_{q_0} - \langle \hat{q}^2 \rangle_{q_0}^2 \right) \Big|_{t=0} = 0.$$

Итак, гипотетические координаты свободных частиц в квадрате пропорциональны $(\propto t^2)$ времени бремени и это "распространение" наката. Так ~~они~~ они распространяются, или также в исходном сопровождении "изменяются координаты частиц":



20) Движение в потенциалом $\approx 18 =$
поле.

Классическая картина: $H = \frac{p^2}{2m} + V(x)$



Частица может двигаться с энергией $E > V_{\min}$.

Для определенных E (в нашем примере при $E < V_-$) движение физично (происходит в ограниченной области R), при $E > V_-$ - частица может уходить на ∞ .

После квантового квантование подчиняется общему закономеранию:

$$\hat{H} = \frac{\hat{p}^2}{2m} + V(\hat{q})$$

Уравнение Шредингера в координатном представлении:

$$\left[i\hbar \frac{\partial \psi}{\partial t} = \hat{H}\psi = -\frac{\hbar^2}{2m} \frac{d^2\psi}{dx^2} + V(x)\psi \right]$$

Мы будем допускать $V(x) \neq 0$ —
 несколько гладко зависящие от x , но
 и имеющие конечное число разрывов
 по ходу (конечно скажи). В природе
 таких нет никаких не бывает, но с
 модельной точки зрения это удобно.
 Поэтому решение уравнения Шредингера
 $\psi(t, x)$ мы будем искать в классе
 ограниченных, непрерывно дифференцируемых
 функций, второе производное по x
 существует и непрерывна почти всюду
 за исключением конечного числа точек,
 где ψ'' имеет разрыв по ходу.

В предыдущих лекциях мы отмечали,
 что если $\frac{d\hat{H}}{dt} \geq 0$, то оператор \hat{H} сохраняет
 квантовые амплитуды чистоты (сохраняет
 норму состояния):

$$it \frac{\partial |\psi\rangle}{\partial t} = \hat{H} |\psi\rangle \Rightarrow |\psi(t)\rangle = e^{-\frac{i\hat{H}t}{\hbar}} |\psi(0)\rangle.$$

Доказываем это универсальное и
 наименее уравнение непрерывности
 для плотности вероятности заселенности

координации.

=20=

$$i\hbar \frac{\partial \psi}{\partial t} = -\frac{\hbar^2}{2m} \psi'' + V(x)\psi$$

↓ комм. компенсации

$$-i\hbar \frac{\partial \bar{\psi}}{\partial t} = -\frac{\hbar^2}{2m} \bar{\psi}'' + V(x)\bar{\psi}$$

$$\Rightarrow i\hbar \bar{\psi} \frac{\partial \psi}{\partial t} + i\hbar \psi \frac{\partial \bar{\psi}}{\partial t} = i\hbar \frac{\partial}{\partial t} |\psi|^2$$

$$-\frac{\hbar^2}{2m} (\bar{\psi} \psi'' - \psi \bar{\psi}'') = -\frac{\hbar^2}{2m} \frac{d}{dx} (\bar{\psi} \psi' - \psi \bar{\psi}')$$

Обозначим $\rho(t, x) = |\psi(t, x)|^2$ — плотность
вероятности распределения координаты
измерений

Тогда получаем:

$$\frac{\partial \rho(t, x)}{\partial t} = \frac{i\hbar}{2m} \frac{d}{dx} (\bar{\psi} \psi' - \psi \bar{\psi}') =$$

$$= -\frac{d}{dx} \left(\frac{1}{2m} \left(\bar{\psi} \frac{\hbar}{i} \frac{d}{dx} \psi + \psi \frac{\hbar}{i} \frac{d}{dx} \bar{\psi} \right) \right)$$

$$\boxed{\frac{\partial \rho}{\partial t} + \frac{d}{dx} j_x(t, x) = 0} \quad j_x \stackrel{?}{=} \frac{1}{2m} \left(\bar{\psi} \frac{\hbar}{i} \frac{d}{dx} \psi + \psi \frac{\hbar}{i} \frac{d}{dx} \bar{\psi} \right).$$

Это \rightarrow называемое уравнение
континуации.

Рассмотрим отрезок $[a, b] \subset \mathbb{R}$.

Интегрируя уравнение континуации
на $[a, b]$, получим:

$$\frac{d}{dt} \int_a^b \rho(t, x) dx = j_x(t, b) - j_x(t, a)$$

$\Rightarrow \partial J =$

вероятность обнаружить частицу на отрезке $[a, b]$ в момент t .

Эта формула легко обобщается на трёхмерный случай:

$$\boxed{\frac{\partial \rho}{\partial t} + \operatorname{div} \vec{j} = 0,} \quad \vec{j} = \frac{1}{2m} \left(4 \frac{t}{i} \vec{\nabla} \Phi - \vec{\Phi} \frac{t}{i} \vec{\nabla} \Phi \right)$$

$$\frac{d}{dt} \int \rho(t, \vec{x}) d^3x = - \frac{\partial \rho}{\partial V} \vec{j} \cdot \vec{n} dS$$

$V \subset \mathbb{R}^3$

- вероятность найти частицу в области V , имеющей единичное значение вектора \vec{j} через границу области V .

Исследуем теперь стационарное уравнение
Прическа: $\frac{d}{dt} \int \rho(t, \vec{x}) d^3x = 0$

$$\hat{H} \Psi = - \frac{\hbar^2}{2m} \Psi''(x) + V(x) \Psi(x) = E \Psi(x)$$

$$\text{Обозначим } E = \frac{\lim E}{t^2}, \quad U(x) = \frac{2m}{\hbar^2} V(x)$$

получим дифф. уравнение второго порядка:

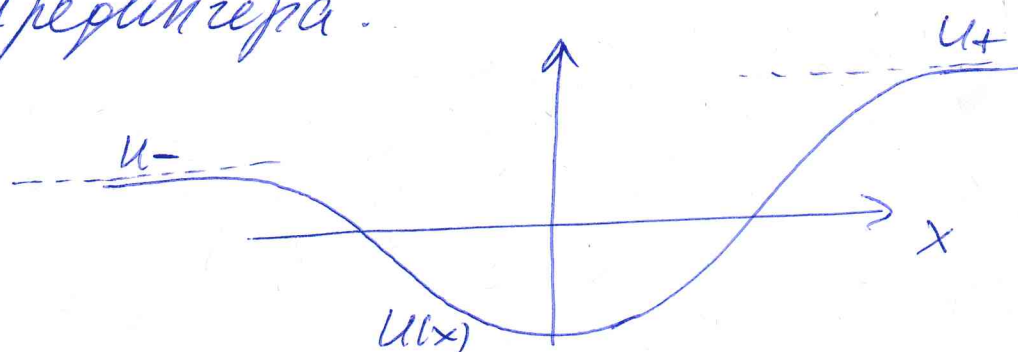
$$\boxed{\Psi''(x) + (E - U(x)) \Psi(x) = 0}$$

Это линейное диф. уравнение $= 22 =$
 второго порядка. Но ее решение -
 - линейное комбинации $\varphi_1(x)$ базисных
 линейно независимых решений $\varphi_1(x)$ и $\varphi_2(x)$.
 Но будем считать, что потенциал $U(x)$
 стремится к конечное постепенное
 значение при $|x| \rightarrow \infty$.

$$U_+ = \lim_{x \rightarrow +\infty} U(x) \geq U_- = \lim_{x \rightarrow -\infty} U(x).$$

Из общих теории линейных дифференциаль-
 ных уравнений можно легко получить
 следующее утверждение о спектре и
 асимптотиках решений стационарного
 уравнения Шредингера.

□



(i) Если $\varepsilon > U_+$ то оба линейно
 независимых решения симм. уравнения
 Шредингера ограничены при $|x| \rightarrow \infty$
 и осуществляют между собой
 противоположные значения:

$$-A \leq \varphi_{1,2}(x) \leq A \quad |x| \rightarrow \infty$$

Если $U(x)$ стремится к пределу $= 23$
какое значение U_{\pm} быстрее $\frac{1}{x}$

(т.е. \exists несобственное интегралы

$$\int_{R_+}^{+\infty} (U(x) - U_+) dx \text{ и } \int_{-\infty}^{-R_-} (U(x) - U_-) dx$$

где R_+ некоторых $R_+ < R_-$), то

$$u(x) \sim A_{\pm} \sin(\sqrt{\varepsilon - U_{\pm}} x + \varphi_{\pm}) \quad x \rightarrow \pm\infty$$

Нормируемых решений нет, сколь
как первоначальный и двукратно вырожденный.
Движение инфинито: вспомогательный пакет
уходит на ∞ .

$$(ii) \quad U_- < \varepsilon < U_+$$

Это решение, убывающее при
 $x \rightarrow +\infty$ не медленнее $\exp(-\sqrt{U_+ - \varepsilon} x)$
и осцилирующее при $x \rightarrow -\infty$.

Все остальные решения при $x \rightarrow +\infty$
расходят не медленнее $\exp(\sqrt{U_+ - \varepsilon} x)$.

\Rightarrow Ограниченнное (но всё еще не нормиру-
емое) решение одно. Следует
перепроверить и невыверенность.
Движение инфинито в ограничимом

Области X.

=24=

(iii) $\varepsilon < u_-$, то есть
 $\varepsilon - u(x) < 0$ при $x \rightarrow \pm\infty$.

Решение могут существовать при
одиначных, дискретных значениях ε .
Если такое (стационарное) решение \exists ,
то оно экспоненциально спадет и при
 $x \rightarrow +\infty$ и при $x \rightarrow -\infty$. Решение норми-
руем, скажем дискретное и неквазипери-
одич. Такие решения называются свя-
тоточными состояниями.

Рассмотрим теперь следующее дополнение
(дискретный склер) и доказаем теорему
о краевых задачах для дискретного
склера.

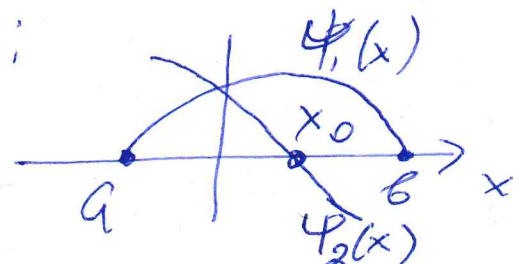
Пусть $\varepsilon_2 > \varepsilon_1$ — 2 значение дискрет-
ного склера, $\psi_2(x)$ и $\psi_1(x)$ — соответству-
ющие собственные состояния:

$$\psi_{1,2}''(x) + (\varepsilon_{1,2} - u(x)) \psi_{1,2} = 0$$

Пусть ~~такие~~ α и $b \in \mathbb{R}$ — 2 нормированных
крайние функции $\psi_1(x)$ (отвечающие меньшим

Экспресс): $\psi_1(a) = \psi_1(b) = 0$, $= 25 =$

$\psi_1(x) \neq 0 \forall x \in (a, b)$:



Тогда $\exists x_0 \in (a, b) : \underline{\psi_2(x_0) = 0}$

Поскольку дискретно есть
секtor небесоподобен, можно сказать

$\psi_{1,2}(x)$ — бесцветные функции.

Действительно, если одна комплексна

$\psi(x) = \alpha(x) + i\beta(x)$, то $\alpha(x) \wedge \beta(x)$ —
— реальные с той же мерой, т.е.
 $\alpha \wedge \beta \Rightarrow$ (б имеет небесоподобность)

$\alpha(x) = \text{const } \beta(x) \Rightarrow \psi(x) = (\text{const} + i)\beta(x)$,
комплексную константу можно сказать
 $\neq 1$ (б имеет линейное уравнение).

Также, например, $\psi_1(x) > 0$ на ин-
тервале (a, b) (как на рисунке выше).

Тогда $\psi'_1(a) \geq 0$, $\psi'_1(b) \leq 0$.

Составим бронскан $\psi_1(x) \wedge \psi_2(x)$:

$$W(\psi_1, \psi_2) = \det \begin{pmatrix} \psi_1 & \psi_2 \\ \psi'_1 & \psi'_2 \end{pmatrix} = \psi_1 \psi'_2 - \psi_2 \psi'_1$$

$$\frac{\partial W(\psi_1, \psi_2)}{\partial x} = \psi_1 \psi_2'' - \psi_2 \psi_1'' = \begin{cases} \text{ногодарств} \\ \psi'' \text{ из Ур. кр.} \end{cases}$$

$$= \psi_1 \underbrace{(\psi(x) - \varepsilon_2) \psi_2}_{\text{"}\psi_2\text{"}} - \psi_2 (\psi(x) - \varepsilon_1) \psi_1 =$$

$$= -(\varepsilon_2 - \varepsilon_1) \psi_1(x) \psi_2(x).$$

Применим \Rightarrow по \uparrow равенство на x от a до b :

$$W[\psi, \psi_2] \Big|_{x \in [a, b]} - W[\psi, \psi_2] \Big|_{x=a} = -(\varepsilon_2 - \varepsilon_1) \int_a^b \psi_1(x) \psi_2(x) dx$$

$$\left. (\psi_1 \psi_2' - \psi_2 \psi_1') \right|_a^b = -\psi_2 \psi_1' \Big|_a^b = \psi_2(a) \psi_1'(a) -$$

\uparrow

$$\text{"}0, т.к. } \psi_1(a) = \psi_2(b) = 0 \quad -\psi_2(b) \psi_1'(b)$$

$$\psi_2(b) \psi_1'(b) - \psi_2(a) \psi_1'(a) = (\varepsilon_2 - \varepsilon_1) \int_a^b \psi_1(x) \psi_2(x) dx.$$

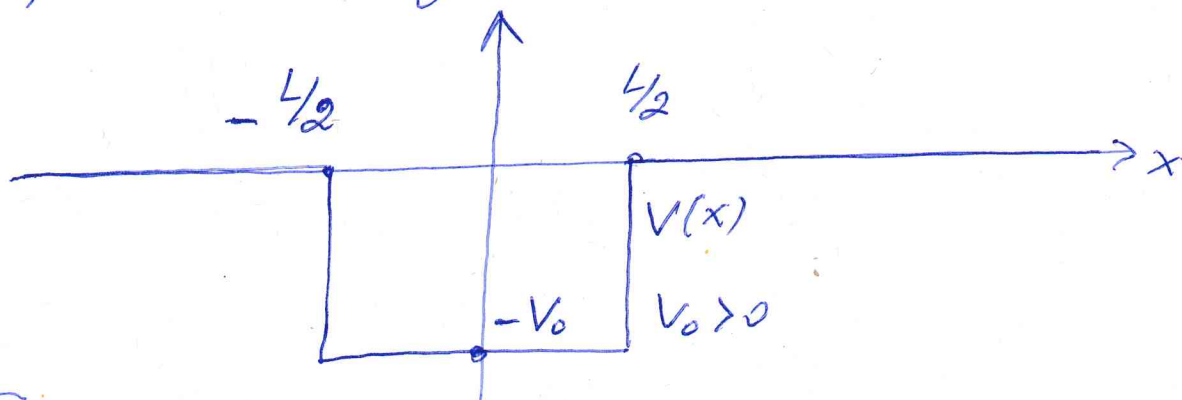
Функция $\psi_2(x)$ не имеет нулей на (a, b)
 \Rightarrow коэффициент не зависит от (a, b) .

Но тогда б сдвиг $\psi_1'(a) \geq 0$, $\psi_1'(b) \leq 0$
 левая и правая части имеют разный
 знак (или обе 0, справа $\neq 0$ в
 вырожденных случаях).

Итак, исследуя нуклеус
собственную формулы дискретного
спектра обнаруживаем что для
один иуль бесконечного решения с
большой энергией. Иллюстрирует
это мы видим на примере гар-
монического осциллятора.

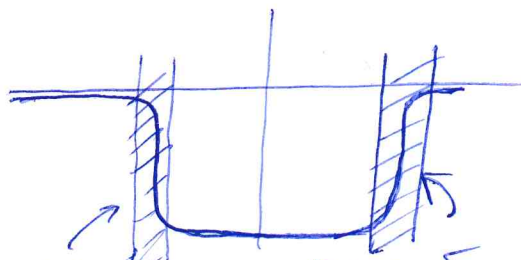
③ Свободные колебания в промежуточной
потенциальной яме.

Рассмотрим модельный потенциал
следующего вида:



Зам Эта модель подчеркнула, например, взаимодействие электрона проводимости (т. е. перемещающегося внутри металла) с атомами металла: в широке металлическом вале электрон практически свободен, а в узкой области

Близи границы действуют $\approx 28 =$
значительные силы, препятствующие
выходу электрона из металла (работа
выхода).



приграничный слой

В нашем примере потенциал
симметричен: $V(x) = V(-x)$, $V_+ = V_- = 0$.

$$V(x) = \begin{cases} 0, & x < -\frac{1}{2} \text{ - область I} \\ -V_0 < 0, & -\frac{1}{2} < x < \frac{1}{2} \text{ - область II} \\ 0, & x > \frac{1}{2} \text{ - область III} \end{cases}$$

Рассмотрим вопрос о связанных
 состояниях дискретного спектра:
 когда они есть, сколько их может быть,
 каким энергиям они отвечают.

Итак, считаем $E < 0$.

Заметим, что в силу симметрии
 потенциала, заполнение \hat{H} коммутирует с оператором четности \hat{P} !

10) $\hat{P}\psi(x) = \psi(-x)$. \leftarrow оператор симметрии $= 29 =$
 Это самосопротивен-
 ий оператор в $L_2(\mathbb{R})$.

Очевидно, что $\hat{P}^2 = \hat{1} \Rightarrow$ собственные
 значения \hat{P} равны $+1$ и -1 , отве-
 тствующие им собственные функции
 называются, соответственно, чётными
 и нечётными:

$$\hat{P}\psi_+ = \psi_+ \Rightarrow \psi_+(-x) = \psi_+(x) -$$

- чётные ф-ны

$$\hat{P}\psi_- = \psi_- \Rightarrow \psi_-(-x) = -\psi_-(x) -$$

- нечётные ф-ны.

$$\hat{H}\psi = -\frac{\hbar^2}{2m} \frac{d^2\psi}{dx^2} + V(x)\psi \Rightarrow$$

$$\Rightarrow \hat{P}\hat{H}\psi = \hat{H}\hat{P}\psi \quad \forall \psi, \text{т.к. } V(x) = V(-x).$$

Поэтому при решении собственных векторов
 \hat{H} удобно искать среди функций
определённых чётности; так как условие
 $[\hat{P}, \hat{H}] = 0$ означает, что \hat{H} и \hat{P} имеют
 общий набор собственных функций.

Ⓐ Следующее собственное значение $\lambda = 30 =$

Уравнение Шредингера надо решать в 3x областях \mathbb{R} в соответствии с потенциалом $V(x)$ и обеспечить непрерывность решения и его первых производных на границах $x = -\frac{\gamma_2}{2}$ и $x = \frac{\gamma_2}{2}$. Для функций определенных на конечности это достаточно сделать на открытой из границ, тогда на границах границе все "сопрягаться" автоматически.

Итак, имеем $\varphi(x) = +\varphi(-x)$:

$$\varphi'' + \frac{2m}{\hbar^2} E \varphi = 0 \quad \text{в области I: } x < -\frac{\gamma_2}{2}$$

и в области III: $x > \frac{\gamma_2}{2}$.

$$\varphi'' + \frac{2m}{\hbar^2} (E + V_0) \varphi = 0 \quad \text{при } -\frac{\gamma_2}{2} < x < \frac{\gamma_2}{2},$$

$V_0 > 0. \quad -\text{ОБЛАСТЬ II.}$

Напомним, что $E < 0$. Введем константы $\alpha^2 = \frac{2m}{\hbar^2} |E| > 0$

$$k^2 = \frac{2m}{\hbar^2} (V_0 - |E|) > 0$$

Тогда в I и III: $\varphi'' - \alpha^2 \varphi = 0$ = 31 =

в II: $\varphi'' + k^2 \varphi = 0$

Число ограниченное решение

имеет вид:

$$\varphi(x) = \begin{cases} A \exp(\alpha x) & x < -\frac{L}{2} \\ B \cos(kx) & -\frac{L}{2} < x < \frac{L}{2} \\ A \exp(-\alpha x) & x > \frac{L}{2} \end{cases}$$

Константы A и B функции при узловом
периодичности $\varphi(x)$ и $\varphi'(x)$ в точке $x = -\frac{L}{2}$:

$$\lim_{x \rightarrow -\frac{L}{2}-0} \varphi(x) = \lim_{x \rightarrow -\frac{L}{2}+0} \varphi(x) \Rightarrow A \exp(-\alpha \frac{L}{2}) = B \cos\left(\frac{kL}{2}\right)$$

$$\lim_{x \rightarrow -\frac{L}{2}-0} \varphi'(x) = \lim_{x \rightarrow -\frac{L}{2}+0} \varphi'(x) \Rightarrow -\alpha A e^{-\frac{\alpha L}{2}} = k B \sin\left(\frac{kL}{2}\right).$$

$$\Rightarrow \begin{cases} A = B e^{\frac{\alpha L}{2}} \cos \frac{kL}{2} \\ B \left(\alpha \cos \frac{kL}{2} - k \sin \frac{kL}{2} \right) = 0 \end{cases}$$

Ненулевое решение ($B \neq 0$) существует

если $\left[\alpha \cos \frac{kL}{2} = k \sin \frac{kL}{2} \right]$ — это уравнение

на значение Энергии $|E|$. Поколебку
 $\cos \frac{kL}{2} \neq 0$ (иначе не борьбенное уравнение)

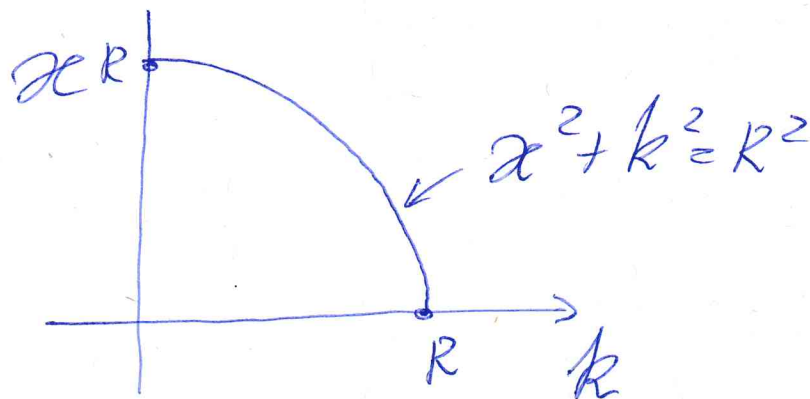
То условие квантования энергии ≥ 32
можно записать в виде

$$\boxed{x = k \operatorname{tg} \frac{kL}{2}} \quad \star$$

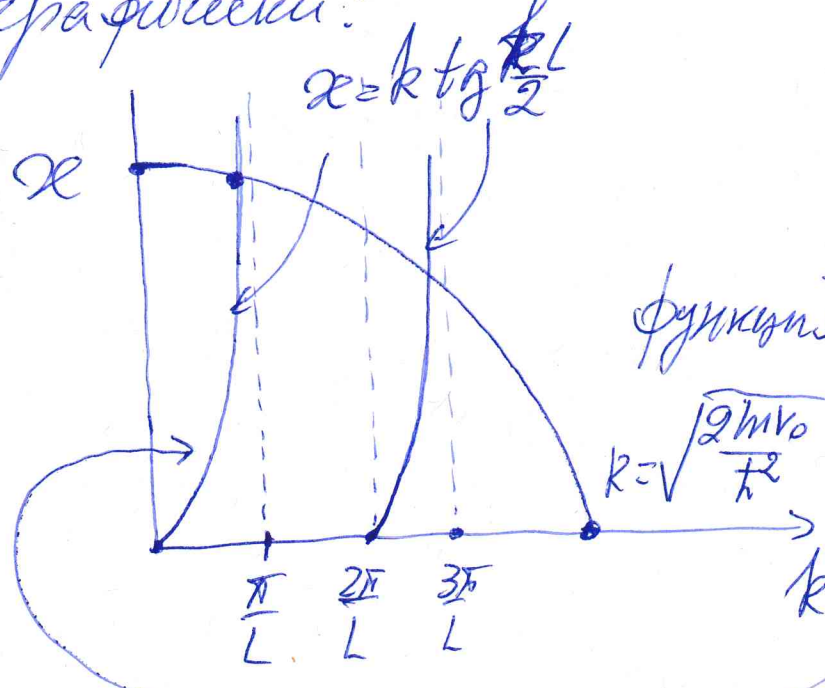
Из определения x и k следует

равенство: $x^2 + k^2 = \frac{\Omega m V_0}{\hbar^2} = R^2 > 0$ -

- Это уравнение окружности. Как интересует четверть $x > 0, k > 0$:

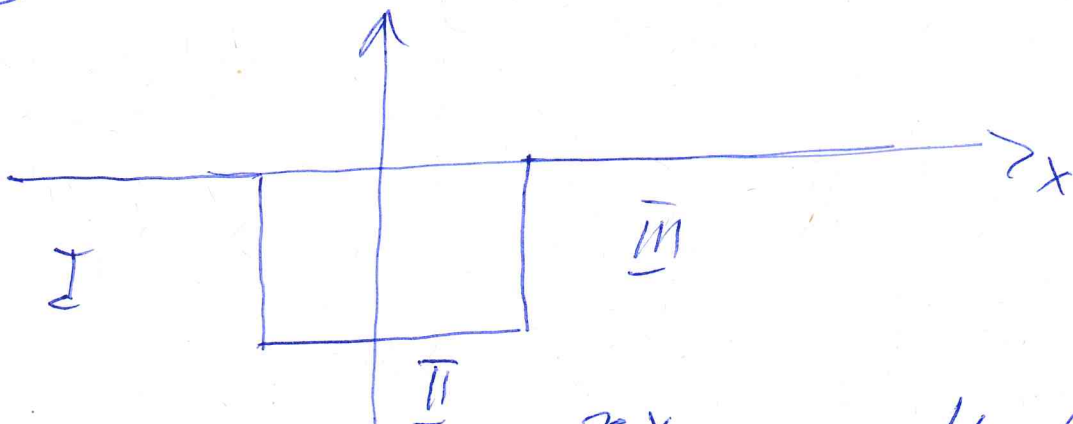


Теперь условие \star можно дать графически:



Видим, что целая собственная функция существует всегда (хотя для этого приходится все V_0 и L).

⑤ Некоторые собственные функции. = 33 =

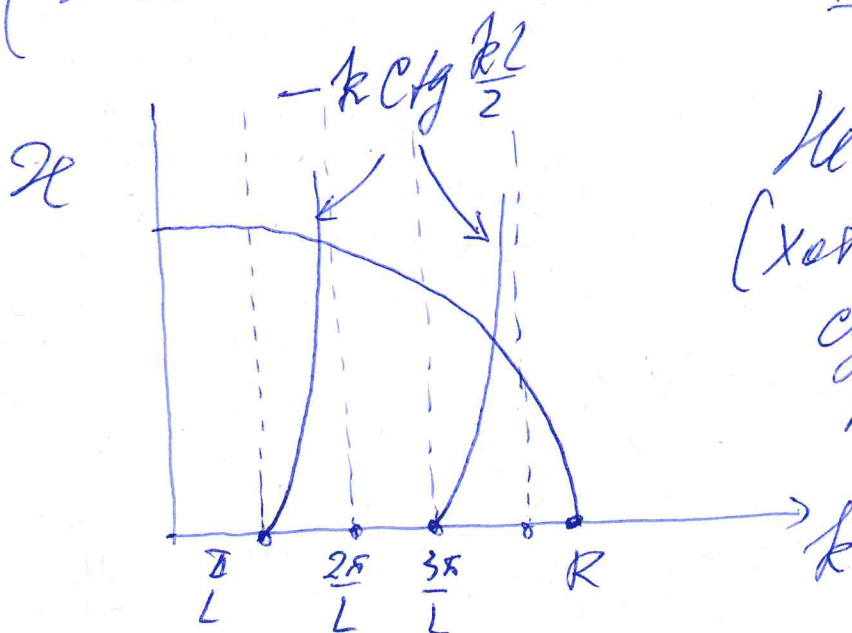


$$q(x) = \begin{cases} A e^{zx}, & x < -\frac{L}{2}, \text{ б. о.н. I} \\ B \sin kx, & -\frac{L}{2} < x < \frac{L}{2}, \text{ б. о.н. II} \\ -A e^{-zx}, & x > \frac{L}{2}, \text{ б. о.н. III} \end{cases}$$

Условие непрерывности в $x = -\frac{L}{2}$:

$$\left. \begin{array}{l} A e^{-\frac{zL}{2}} = -B \sin \frac{kL}{2} \\ zA e^{-\frac{zL}{2}} = kB \cos \frac{kL}{2} \end{array} \right\} \Rightarrow \boxed{A = -B e^{\frac{zL}{2}} \sin \frac{kL}{2}}$$

$$\boxed{x = -k \operatorname{ctg} \frac{kL}{2}} \quad \triangle A$$



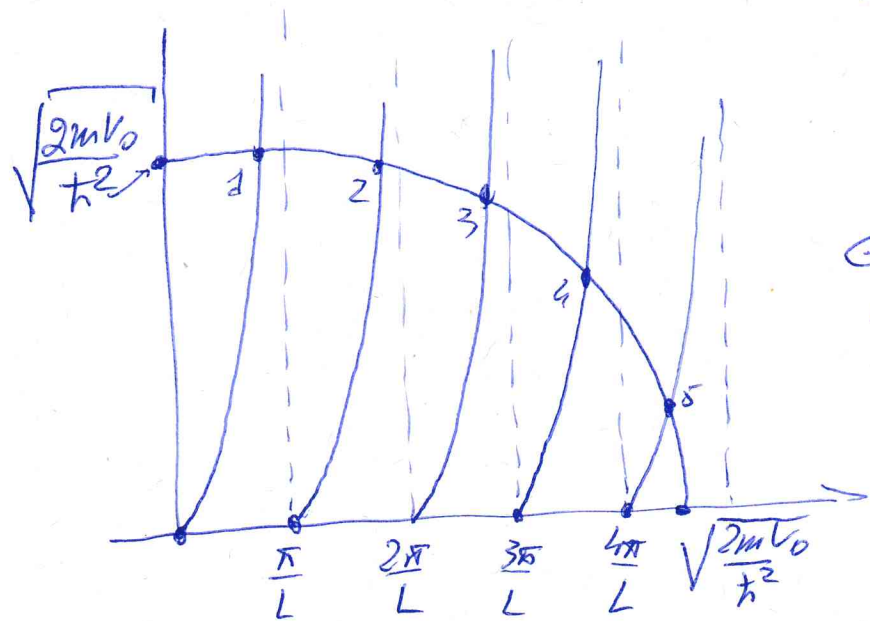
Некоторые уравнения
(хотя для един.)
существуют только
если $R \geq \sqrt{\frac{\rho_m V_0}{t^2}} > \frac{\pi}{L}$

Иначе, значение энергии, при $\omega = 34 =$
которых есть собственные функции
 H будет иметь $V(x) = V(-x)$, определя-
ющие точками пересечения кривых

$k \operatorname{tg} \frac{kL}{2}$ и $-k \operatorname{ctg} \frac{kL}{2}$ с окружностью

$$x^2 + k^2 = \frac{2mV_0}{h^2}; \quad x = \frac{\sqrt{2mV_0}}{h}$$

$$k^2 = \frac{2m}{h^2} (V_0 - |E|).$$



На рисунке
изображен график,
когда в нем
5 связанных
составляющих.

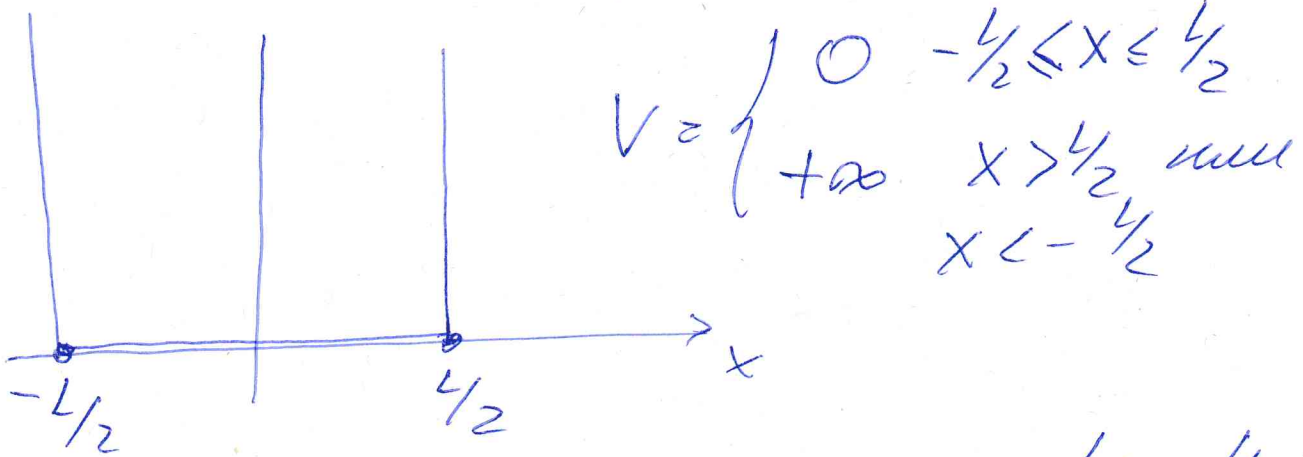
Энергии E_1, E_3 и E_5 отвечают
одинаковые собственные функции, E_2 и E_4
— различные собственные функции.

В общем случае число связанных
составляющих N имеет определенные ограничения:

$$(N-1) \leq \frac{L}{\pi} \sqrt{\frac{2mV_0}{h^2}} < N.$$

число связ. составляющих

(B) Бесконечно глубокое яма: 235-



Здесь условие на границах $x = -\frac{L}{2}$ и $\frac{L}{2}$:

$$\psi\left(\frac{L}{2}\right) = \psi\left(-\frac{L}{2}\right) = 0.$$

Первое квантовое

$$\psi_+ = A \cos k_+ x$$

$$k_+^2 = \frac{2m}{\hbar^2} E^{(+)}$$

$$\psi\left(-\frac{L}{2}\right) = \psi\left(\frac{L}{2}\right) = 0 \Rightarrow \cos \frac{k_+ L}{2} = 0 \Rightarrow$$

$$\Rightarrow k_n^{(+)} = \frac{2}{L} \left(\frac{\pi}{2} + n\pi \right) = \frac{\pi}{L} (2n+1) \quad n=0, 1, \dots$$

$$\Rightarrow E_n^{(+)} = \frac{\hbar^2}{2m} \frac{\pi^2}{L^2} (2n+1)^2 \quad n=0, 1, 2, \dots$$

Второе квантовое: $\psi_- = A \sin k_- x$

$$\sin k_-^{(-)} \frac{L}{2} = 0 \Rightarrow k_-^{(-)} = \frac{\pi}{L} 2n \quad n=1, 2, \dots$$

$$\Rightarrow E_n^{(-)} = \frac{\hbar^2}{2m} \frac{\pi^2}{L^2} (2n)^2 \quad n=1, 2, \dots$$

Симметрия и нечетное условие $= 36 =$
периодичности. Краине это, наименее
月薪 означает что соответствующие углы
нужных следующих состояний:

